

Нижегородский научно-исследовательский радиофизический институт
Министерства науки, высшей школы и технической политики
Российской Федерации

П р е п р и н т № 350

ВХОДНОЙ ИМПЕДАНС ЭЛЕКТРИЧЕСКОГО ВИБРАТОРА
В ИЗОТРОПНОЙ ХОЛОДНОЙ ПЛАЗМЕ

В.П.Докучаев

Д о к у ч а е в В. П.

ВХОДНОЙ ИМПЕДАНС ЭЛЕКТРИЧЕСКОГО ВИБРАТОРА В ИЗОТРОПНОЙ
ХОЛОДНОЙ ПЛАЗМЕ//Препринт № 350. - Нижний Новгород: НИРФИ, 1992.-
- 17 с.

УДК 621.396.67

Получены формулы для расчета входного импеданса тонкого электрического симметричного вибратора, помещенного в однородную изотропную среду, в частности, в холодную изотропную плазму. Приведены и обсуждаются результаты расчета входного импеданса антенны в плазме. Исследованы резонансные особенности действительной и мнимой части импеданса вблизи плазменной частоты электронов и для настроенных антенн, то есть когда длина вибратора составляет целое число полуволн в среде. Дан сравнительный анализ полученных результатов с результатами других работ.

Д о к у ч а е в V. P.

THE INPUT IMPEDANCE OF AN ELECTRIC VIBRATOR IN AN ISOTROPIC
COLD PLASMA // Preprint No.350.-Nizhny Novgorod: NIRFI,1992.-17 R.

The approximate formulas for the input impedance of thin center-driven cylindrical antennas are derived from a basic integral equation for the antenna placed in a cold isotropic plasma. The integral equation is solved with a help of a modified great parameter. A set of the real and imaginary parts of the input impedance are given for different values of a plasma frequency and an antenna length. It is shown that the resonant and antiresonant frequencies of long antennas in plasma may have a marked shift.

Вопросы генерации и приема электромагнитных колебаний и волн в средах и, в частности, в лабораторных и космических плазмах представляют значительный интерес как для диагностики сред, так и непосредственно для антенной техники. Наряду с диаграммой направленности, важнейшим параметром теории и техники конструирования антенных систем является входной импеданс антенны. Он определяет, в свою очередь, целый ряд вторичных характеристик антенн: излучаемую мощность, рабочую полосу частот, резонансные частоты и полосу пропускания. Более того, входной импеданс необходимо знать для решения центральной проблемы создания антенно-фидерных устройств — проблемы оптимального согласования собственно антенны при помощи фидерной линии с приемником или передатчиком *). Здесь проведено теоретическое исследование влияния изотропной среды и, в основном, изотропной плазмы на входной импеданс Z_A тонкого симметричного вибратора. Обзор современного состояния указанных проблем содержится в работах /1-2/.

Основной характеристикой линейных антенн является распределение электрического тока $I(Z)$ вдоль вибратора. Зная электрический ток, сравнительно просто находятся поля, особенно в зоне Фраунгофера, и диаграммы направленности по полю и по мощности. Более того, входной импеданс антенны Z_A есть отношение напряжения источника э.д.с. \mathcal{E} , включенного на входе антенны, к входному току $I(0)$. Входной импеданс имеет активную R_A и реактивную X_A состав —

*) Иными словами входной импеданс одна из основных характеристик антенно-фидерной системы в целом.

лящие, которые зависят от рабочей частоты ω :

$$Z_A(\omega) = \frac{\xi}{I(0)} = R_A(\omega) + iX_A(\omega). \quad (1)$$

Существует несколько различных методов решения интегро-дифференциального уравнения для распределения тока по длине вибратора /6-8/. Среди них можно выделять большую группу методов, основанных на итерационном способе решения указанного уравнения. При последовательных итерациях используются различные способы введения больших параметров, с помощью которых получается итерационная последовательность решений.

В первых работах в этом направлении использовался большой параметр

$$\Omega_0 = 2 \ln(2L/a), \quad (2)$$

где $2L$ - длина проводников вибратора, a - их радиус (см., например /3, 9/). Очевидно, что этот параметр тесно связан с электростатическими, или точнее квазиэлектростатическими, ближними полями цилиндрических сильно вытянутых проводников /9/. Здесь в качестве большого параметра Ω будет использована величина, связанная с волновым (характеристическим) сопротивлением Z_Λ однопроводной линии и конечной длины без потерь для ТЕМ волны, помещенной в однородную изотропную среду

$$\Omega = \frac{Z_\Lambda}{Z_S}, \quad Z_S = \sqrt{\frac{\mu_0 \mu}{\epsilon_0 \epsilon}}, \quad (3)$$

Z_S - волновое сопротивление свободного пространства, ϵ_0 и μ_0 соответственно диэлектрическая и магнитная постоянные в системе СИ, μ и ϵ магнитная и диэлектрическая проницаемости среды. Соотношение, определяющее волновое сопротивление $Z_\Lambda = Z_\Lambda(\omega, a, L, \epsilon, \mu)$ для одиночного металлического провода в свободном пространстве, приведено в работе /6/. Интересно отметить, что только в частном случае электрически коротких антенн $L \ll \lambda$, где λ - длина волны, модифицированный большой параметр Ω (3) переходит в Ω_0 (2).

Решение задачи о распределении электрического тока по длине в

симметричном вибраторе, помещенном в свободное пространство с параметром Ω (3), содержится в работах /10-12/. Обзор и сравнительный анализ итерационного метода решения основного интегрального уравнения теории антенн с другими параметрами содержится в монографиях /1, 4/. Однако электродинамический смысл других параметров не столь ясен, как параметров (2)-(3). Отметим также, что выражения для Z_A , полученные с помощью параметра Ω , уже в первых итерациях (нулевой и первой) хорошо согласуются в широкой полосе частот с известными результатами расчетов Кинга и Миддлтона, использовавших другие параметры и большее число итераций, а также с результатами измерений действительной и мнимой части Z_A /1, 4/. В связи с этим здесь при анализе работы тонкого симметричного вибратора в изотропной среде и, в частности, в "холодной" изотропной плазме при решении интегрального уравнения для тока в антенне использован модифицированный большой параметр $\Omega(\omega, a, L)$ (3).

Формулы для импеданса тонкого вибратора
в изотропной электропроводной среде и в плазме

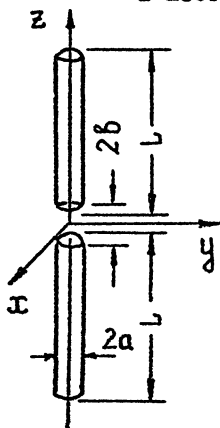


Рис.1

Симметричный электрический вибратор схематически изображен на рис.1: L — длина одного плеча вибратора, a — радиус его металлических проводов, $2b$ — величина зазора, в котором приложена сторонняя δ -образная э.д.с.; ϵ и μ — соответственно относительные диэлектрическая и магнитная проницаемости, σ — электропроводность среды, окружающей вибратор. В дальнейшем будем предполагать вибратор достаточно тонким:

$$a \leq b \ll L, \quad b \ll \lambda,$$

$$\Omega_0 = 2 \ln \frac{2L}{a} \gg 1, \quad (4)$$

$$2 \ln (\lambda/a) \gg 1.$$

Здесь λ — длина волны в среде.

Как отмечено выше, в работах /11-12/ методом итераций с параметром Ω (3) при $\epsilon = \mu = 1$ было получено и проанализировано

выражение для входного импеданса тонкого симметричного вибратора при работе в свободном пространстве.

В однородной изотропной среде основное интегро-дифференциальное уравнение для тока $I(Z)$ имеет вид:

$$\frac{i}{4\pi\omega\epsilon_0\epsilon'} \left(\frac{d^2}{dz^2} + k_0^2 \epsilon' \mu \right) \int_{-L}^{+L} \frac{I(z') e^{-ik\sqrt{(z-z')^2+a^2}}}{\sqrt{(z-z')^2+a^2}} dz' = \xi \delta(z) \quad (5)$$

Здесь ξ - величина сторонней э.д.с., приложенной в малом зазоре шириной $2b$ в центре диполя, δ - символ функции Дирака, $k = k_0 \sqrt{\epsilon' \mu}$ и $k_0 = \omega \sqrt{\epsilon_0 \mu_0} = \omega/c$ - волновые числа в среде и в вакууме, искомая функция $I(Z)$ описывает распределение электрического тока вдоль вибратора. Электропроводность среды σ включена в комплексную диэлектрическую проницаемость ϵ'/ϵ_0 :

$$\epsilon'(\omega) = \epsilon - i \frac{\sigma}{\omega \epsilon_0} \quad (6)$$

Результаты работ [II-12] легко обобщаются на случай решения уравнения (5). После нахождения $I(Z)$ из (5) получаем следующее выражение для входного импеданса тонкого симметричного вибратора в изотропной среде с постоянными ϵ , μ и σ

$$Z_A = - \frac{i z_0}{2\pi} \Omega \sqrt{\frac{\mu}{\epsilon'}} \frac{\cos \alpha + \alpha/\Omega}{\sin \alpha + \beta/\Omega} \quad (7)$$

Здесь $Z_0 = i20\pi$ Ом - волновое сопротивление свободного пространства,

$$\alpha = k_0 \sqrt{\epsilon' \mu} L, \quad (8)$$

$$\Omega = 2 \left[\ln \frac{2L}{a} - \text{Cin}(\alpha L) \right]. \quad (9)$$

Безразмерные функции α и β от \mathcal{E} определяются соотношениями:

$$\alpha = \alpha_1 + i\alpha_2,$$

$$\alpha_1 = \frac{\cos \mathcal{E}}{2} [\text{Cin}(4\mathcal{E}) - 2\text{Cin}(2\mathcal{E})] - \frac{\sin \mathcal{E}}{2} [\text{Si}(4\mathcal{E})], \quad (\text{I0})$$

$$\alpha_2 = \frac{\cos \mathcal{E}}{2} [\text{Si}(4\mathcal{E}) - 2\text{Si}(2\mathcal{E})] + \frac{\sin \mathcal{E}}{2} [\text{Cin}(4\mathcal{E})];$$

$$\beta = \beta_1 + i\beta_2,$$

(II)

$$\beta_1 = \frac{\cos \mathcal{E}}{2} [4\text{Si}(2\mathcal{E}) - \text{Si}(4\mathcal{E})] + \frac{\sin \mathcal{E}}{2} [4 \ln 2 + 2\text{Cin}(2\mathcal{E}) - \text{Cin}(4\mathcal{E}) - 4\text{Cin} \mathcal{E}],$$

$$\beta_2 = \frac{\cos \mathcal{E}}{2} [\text{Cin}(4\mathcal{E}) - 4\text{Cin}(2\mathcal{E})] - \frac{\sin \mathcal{E}}{2} [\text{Si}(4\mathcal{E}) - 2\text{Si}(2\mathcal{E})].$$

Здесь использованы стандартные обозначения для специальных функций, связанных с интегральным косинусом и синусом /I4/

$$\text{Si}(x) = \int_0^x \frac{\sin t}{t} dt, \quad \text{Ci}(x) = - \int_x^{\infty} \frac{\cos t}{t} dt, \quad (\text{I2})$$

$$\text{Cin}(x) = \int_0^x \frac{1 - \cos t}{t} dt = \ln x + \gamma - \text{Ci}(x), \quad \gamma = 0,577,$$

где γ - постоянная Эйлера. Соотношения (7)-(I2) вполне аналогичны соответствующим формулам работ /II-I2/ для свободного прост - ряства. Однако при наличии в среде омических потерь \mathcal{E}' становится комплексной величиной вместе с аргументом \mathcal{E} в формулах (7)-

-(12). При этом значительно возрастает вычислительные трудности.

Здесь мы рассмотрим подробно случай изотропной плазмы, в которой электропроводность на частоте ω определяется формулой /13, 15/

$$\sigma = \frac{e^2 N}{m_e (\nu + i\omega)}, \quad (13)$$

где e - заряд электрона, m_e - его масса, N - концентрация заряженных частиц в квазинейтральной плазме, ν - эффективная частота соударений электронов с другими частицами плазмы. Полагая для газовой плазмы $\epsilon = \mu = 1$ из (6) и (13) находим, что

$$\epsilon'_p = 1 - \frac{\omega_{pe}^2}{\omega(\omega - i\nu)}, \quad \omega_{pe} = \sqrt{\frac{e^2 N}{\epsilon_0 m_e}}. \quad (14)$$

Здесь ω_{pe} - плазменная частота электронов.

Расчеты были выполнены для плазмы без соударений, когда в формулах (13)-(14) $\nu = 0$ и, следовательно,

$$\epsilon = 1 - \omega_{pe}^2 / \omega^2. \quad (15)$$

При этом на частотах $\omega = \omega_{pe}$ полагаем

$$z = \frac{\sqrt{\omega^2 - \omega_{pe}^2} L}{c} = \sqrt{x^2 - x_p^2}, \quad x \geq x_p. \quad (16)$$

Здесь для удобства введена безразмерная переменная $x = (\omega L/c)$ и безразмерный параметр $x_p = \omega_{pe} L/c$, характеризующий отношение масштаба L к глубине проникновения высокочастотного поля в плазму $\delta = c/\omega_{pe}/13/$. По формулам (7)-(16) выполнены расчеты действительной R_A и мнимой X_A части входного импеданса (I). На низких частотах, когда $\omega \leq \omega_{pe}$ следует воспользоваться аналитическим продолжением в (7)-(12) и (16) соответствующих функций комплекс-

ного переменного \varkappa с учетом принципа причинности - электромагнитные поля должны экспоненциально затухать при удалении от вибратора:

$$\varkappa = -i \frac{\sqrt{\omega_{pe}^2 - \omega^2} L}{c} = -i \sqrt{x^2 - x_p^2} = -iy. \quad (I7)$$

При этом функции интегрального синуса и косинуса преобразуются следующим образом в функции интегрального гиперболического синуса и косинуса

$$\sin(-iy) = -i \operatorname{sh} y, \quad \cos(-iy) = \operatorname{ch} y,$$

$$\operatorname{Si}(-iy) = -i \operatorname{Shi}(y), \quad \operatorname{Cin}(-iy) = \operatorname{Chin}(y), \quad (I8)$$

$$\operatorname{Shi}(y) = \int_0^y \frac{\operatorname{sh} t}{t} dt, \quad \operatorname{Chin}(y) = \int_0^y \frac{1 - \operatorname{ch} t}{t} dt.$$

В дальнейшем для анализа характера поведения импеданса антенны вблизи плазменной частоты ω_{pe} нам потребуется значение Z_A в приближении электрически короткой антенны, когда

$$\varkappa = k_0 \sqrt{|\varepsilon'| \mu} L \ll 1. \quad (I9)$$

В этом приближении из (7) находим, что

$$Z_A \approx \frac{Z_0}{2\pi} \sqrt{\frac{\mu}{\varepsilon'}} \left(\frac{\varkappa^2}{3} - i \frac{\Omega_0}{\varkappa} \right), \quad \Omega_0 = 2 \ln \frac{2L}{a}. \quad (20)$$

Для плазмы с соударениями в соответствии с (I4) и (20) получим

$$Z_A \approx 60 \left[\frac{\sqrt{\varepsilon'} (k_0 L)^2}{3} - i \frac{\Omega_0}{\varepsilon' (k_0 L)} \right] \text{ Ом}. \quad (2I)$$

**Качественный и численный анализ
импеданса антенны в плазме**

Перейдем к анализу результатов. На основании соотношений (17')- (18) в плазме без учета соударений из (7)-(12) сразу устанавливаем, что при $\omega \leq \omega_{pe}$

$$R_A = 0, \quad X_A \geq 0. \quad (22)$$

Это означает, что в холодной изотропной плазме без соударений на частотах меньше ленгмювской отсутствует излучение поперечных электромагнитных волн, а реактивная часть входного импеданса имеет индуктивный характер.

Результаты численных расчетов активной и реактивной части Z_A в зависимости от частоты приводятся на рис. 2, 3, 4. Предполагалось, что $\Omega_0 = 2 \ln(2L/a) = 20$ и выбраны три различных значения $x_p = 0, 1; 1; 3$. Из рисунков видно, что при $x = x_p$ имеет место резонансная особенность у функции $X_A = X_A(\omega)$. Ясно, что происхождение этой резонансной особенности связано с ленгмювскими колебаниями холодной изотропной плазмы на частоте ω_{pe} . Далее из рисунков видны также резонансные особенности настроенных антенн, которые определяются нулями реактивной составляющей входного импеданса $X_A(\omega) = 0$. Качественный анализ формулы (7) дает следующие приближенные выражения для частот, на которых имеет место резонанс напряжений в антенне

$$\omega \approx \sqrt{\omega_{pe}^2 + \left(n + \frac{1}{2}\right)^2 \frac{c^2 \pi^2}{L^2}}, \quad n = 0, 1, 2, 3, \dots \quad (23)$$

Это соотношение получено из условия, что на длине вибратора $2L$ укладывается целое нечетное число полуволн в среде $\mathcal{E} \approx (n + 1/2)\pi$. В вакууме при $\omega_{pe} = 0$ основная резонансная длина симметричного вибратора $L \approx 0,5 \lambda$. Другой ряд нулей $X_A(\omega)$ соответствует резонансам токов в антенне^{*)} $\mathcal{E} \approx n\pi$ и, следовательно,

^{*)} Иногда в антенной технике эти особые точки Z_A называют антирезонансами.

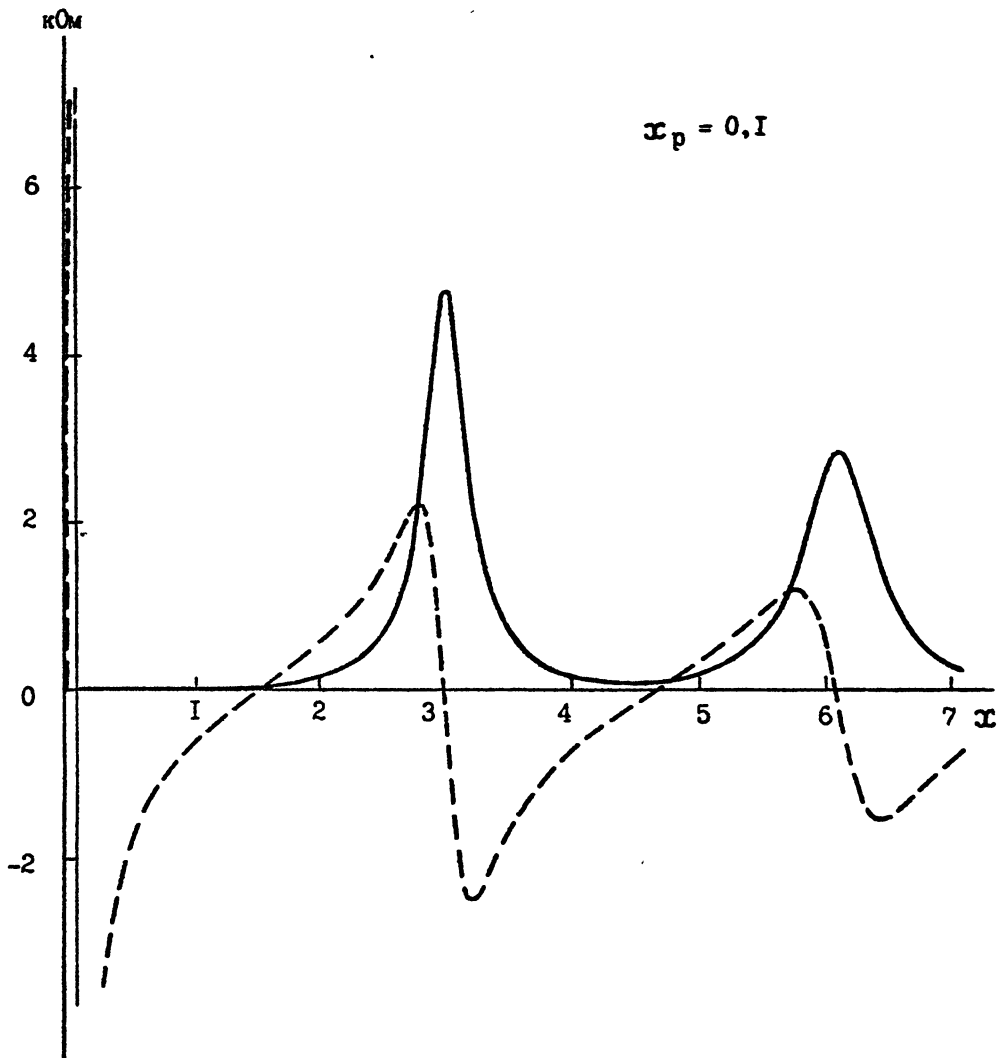


Рис. 2

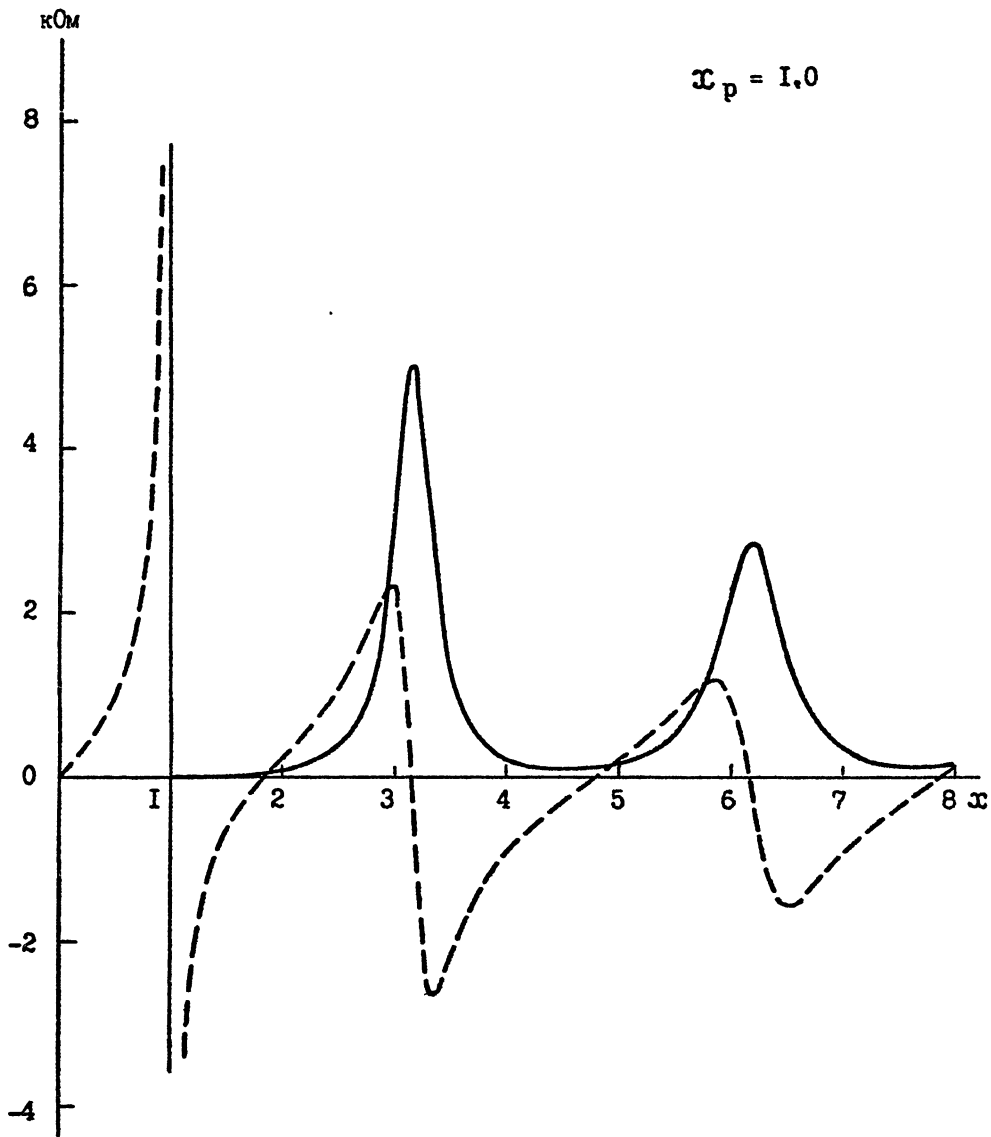


Рис. 3

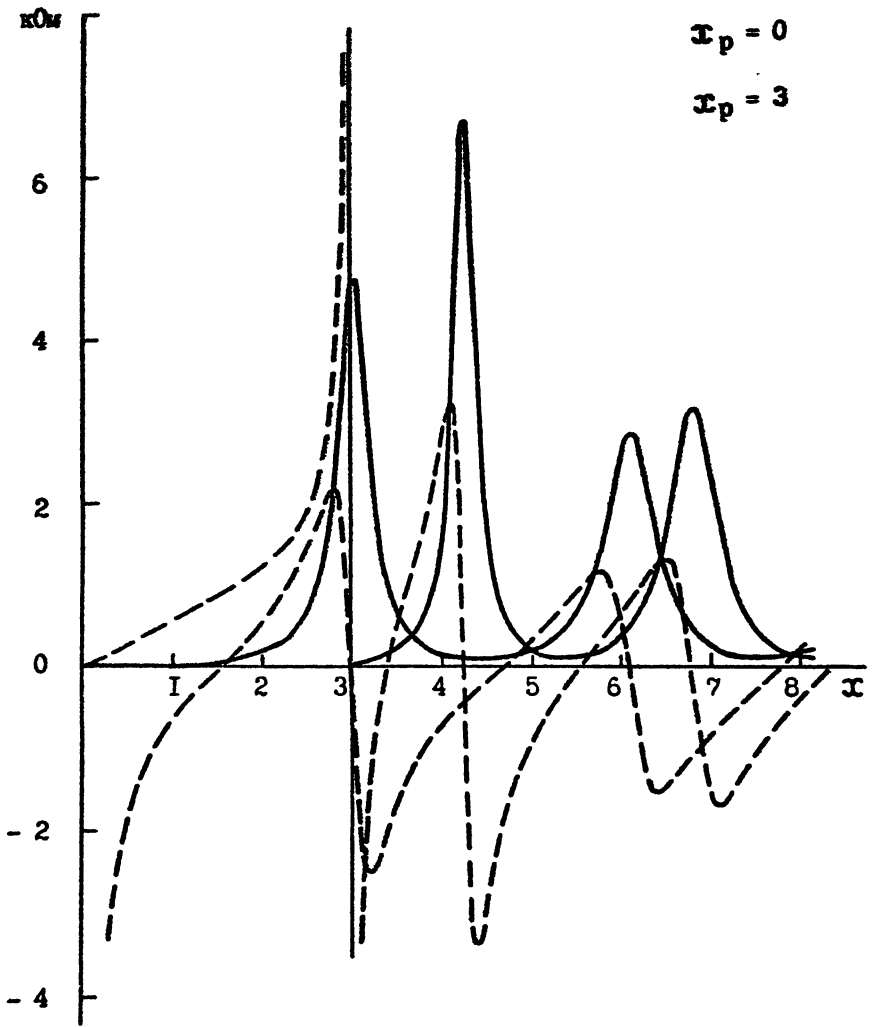


Рис. 4

$$\omega \approx \sqrt{\omega_{pe}^2 + \frac{c^2 n^2 \pi^2}{L^2}}, \quad n = 1, 2, 3, \dots \quad (24)$$

Из рисунков видно, что вблизи этих частот R_A достигает максимальных значений. В этом случае на длине вибратора укладывается четное число полуволн — целое число волн в среде. Из соотношений (23)–(24) ясно, что присутствие плазмы заметно будет влиять на резонансы при условии, что $(\omega_{pe} L/c) > \pi$. С тем чтобы пояснить этот результат на рис. 4 на одном графике тонкими линиями даны кривые $R_A(\omega)$ и $X_A(\omega)$ для антенны в вакууме $\epsilon_p = 0$, а толстыми линиями — случай $\epsilon_p = 3$. Здесь отчетливо видно смещение резонансных особенностей антенны.

Большой интерес для диагностики плазмы представляет поведение активной и реактивной составляющих Z_A в окрестности плазменного резонанса, то есть при $\omega = \omega_{pe}$. В соответствии с (16) и (19) при этом естественно и удобно воспользоваться приближением коротких антенн (20)–(21) тем более, что короткие антенны в плазме неоднократно являлись предметом теоретических и экспериментальных исследований [1, 16–18].

В плазме без соударений для короткого диполя из (15) и (21) получаем

$$Z_A = 60 \left[\frac{\omega \sqrt{\omega^2 - \omega_{pe}^2} L^2}{3c^2} - i \frac{2c \ln(2L/a)}{\omega L (1 - \omega_{pe}^2/\omega^2)} \right] \text{ Ом.} \quad (25)$$

Поведение второго слагаемого при изменении частоты совпадает с тем, что имеет место при резонансе токов в случае параллельного включения LC-контура:

$$Z_{LC} = - \frac{i}{\omega C - 1/\omega L}, \quad (26)$$

где L и C соответственно индуктивность и емкость контура с резонансной частотой $\omega_0 = (LC)^{-1/2}$. Учет соударений в (21) устраняет резонансную особенность в (25). На рис. 5 приводится зависимость

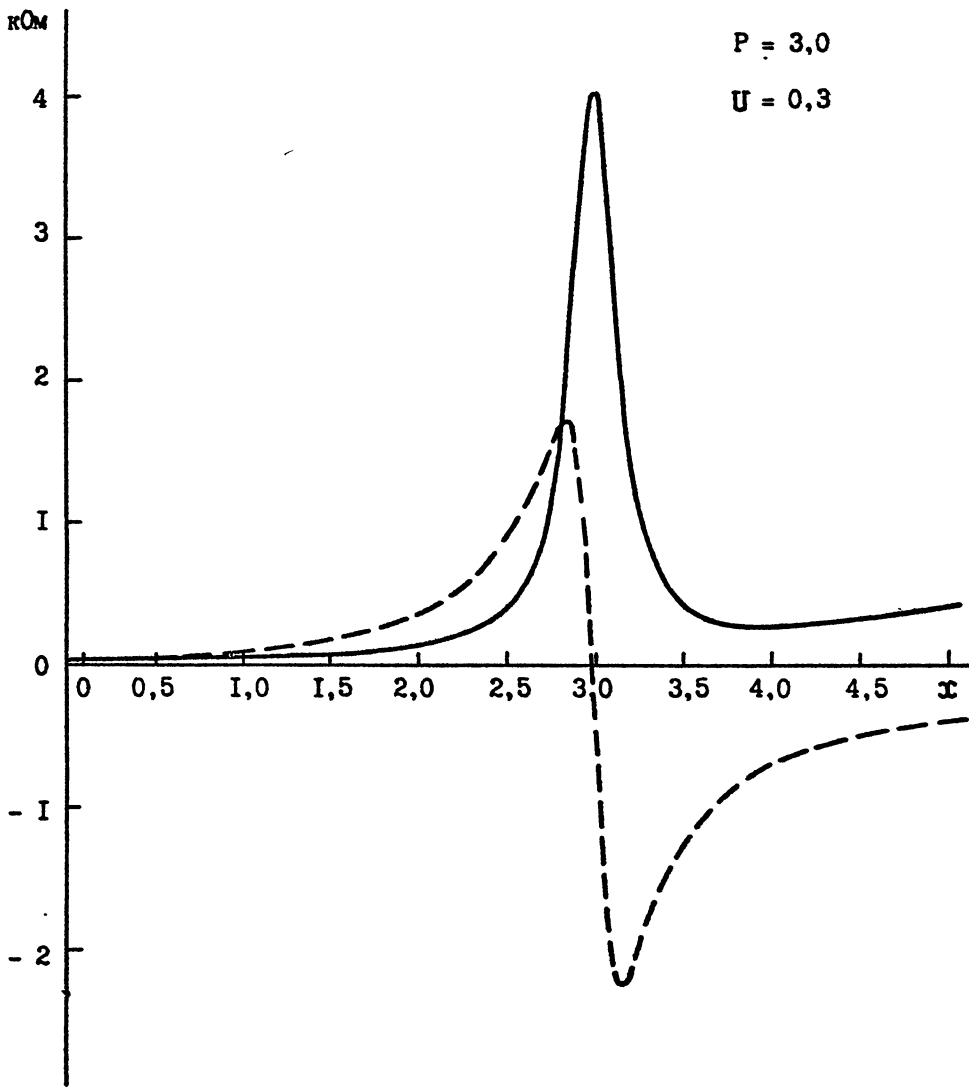


Рис. 5

$Z_A = Z_A(\omega)$ для случая $\zeta_{\Gamma}(2L/a) = 10$, $\mathcal{X}_p = 5$ и $\sqrt{L/C} = 0,5$, а также $\mathcal{X}_p = 3$, $(\sqrt{L/C}) = 0,3$. Из этих рисунков видно, что после прохождения резонанса $\omega = \omega_{pe}$ реактивная часть Z_A приобретает емкостный характер. Лабораторные измерения Z_A для коротких антенн были сделаны в работе /16/ и они удовлетворительно согласуются с расчетами /1/. В работах /17-18/ учитывалось влияние слобой пространственной дисперсии (теплового движения заряженных частиц в плазме) на входной импеданс коротких антенн вблизи резонанса $\omega \approx \omega_{pe}$. При этом в работе /18/ сделан вывод о том, что для антенн с размером L , превосходящим радиус Дебая, входной импеданс короткой антенны определяется величиной зазора в антенне (см.рис. 1). Вопросы совместного влияния пространственной дисперсии и конечных размеров антенны на распределение электрического тока по длине вибратора на его импеданс представляют весьма сложную задачу. В заключение благодарю О.А.Зорину за проведенные расчеты.

Л и т е р а т у р а

1. Кинг Р., Смит Г. Антенны в материальных средах - М.: Мир, Т.1 и 2, 1984.
2. Мареев Е.А., Чугунов Ю.В. Антенны в плазме. - Н.Новгород: ИФФ АН СССР, 1991.
3. Леонтович М.А., Левин М.Л. К теории возбуждения колебаний в вибраторах антенн//ЖТФ. - 1944. - Т.14, № 9. - С.481-506.
4. King R.W.P. The theory of linear antennas, Harvard Univ.Press, Massachusetts, 1956.
5. Левин М.Л. О теории металлических антенн. Уч.зап.Горьковского госуниверситета, вып.ХVI, серия: физ.-мат.наук., Горький, 1950. - С.283-260.
6. Шелкунов С., Фриис Г. Антенны. - М.: Сов.радио, 1955. - С.233.
7. Марков Г.Т., Сазонов Д.М. Антенны. - М.: Энергия, 1975.
8. Hallen E. Properties of a long antenna.-J.Appl.Phys.-1948.-V. 19, No.12.-P.1140-1141.
9. Ландау Л.Д., Дифшиц Е.М. Электродинамика сплошных сред. - М.: Наука.

10. Gray M.C. Modification of Hallen's solution of the antenna problem.-J.Appl.Phys.-1944.-V.15, No.1.-P.61-65.
11. Докучаев В.П. Новый параметр в теории электрических вибраторных антенн//Препринт № 298. - Горький: НИРФИ, 1990.
12. Докучаев В.П. Новый большой параметр в интегральном уравнении теории тонких антенн. - В сб.: Волны и дифракция-90. - М.: АН СССР, 1990. - Т.1. - С.308-311.
13. Гинзбург В.Л. Распространение электромагнитных волн в плазме.- М.: Физматгиз, 1960.
14. Справочник по специальным функциям/Под ред.М.А.Абрамовица и И. Стиган. - М.: Наука, 1979.
15. Гинзбург В.Л. Теоретическая физика и астрофизика. - М.: Наука, 1975.
16. Scott L.D., Rama Rao B. IEEE Trans.Antennas Propagat. AP-17, 777, 1969.
17. Андронов А.А., Городинский Г.А. Дипольное излучение плазменных волн//Изв.вузов. - Радиофизика. - 1963. - Т.5, № 2. - С.234-239.
18. Андронов А.А., Эйрман В.Я. К теории тонкой антенны в изотропной плазме//ЖТФ. - 1969.- Т.39, № 2. - С.365-372.

Подписано в печать 10.07.92 г. Формат 60 x 84/16.
Бумага писчая. Печать офсетная. Объем 0,95 усл.п.л.
Заказ 5266. Тираж 100.
